

Химия

УДК 541.49:546.56

Յ. Ե. ԿԱՓԱՆՅԱՆ, Դ. Վ. ԲԱԼԱՅԱՆ, Տ. Դ. ԲԱԳԴՍԱՐՅԱՆ,  
Գ. Մ. ՅԵՅԻՏԱԳՅԱՆ, Տ. Կ. ԳՐԻԳՐՅԱՆ

### ВЗАИМОДЕЙСТВИЕ Mo (VI) С ВИННОЙ КИСЛОТОЙ В ВОДНОМ РАСТВОРЕ

Методами спектрофотометрии (метод изомолярных серий, метод сдвига равновесия, метод прямой линии Асмуса) и ионообменной хроматографии изучено комплексообразование молибдена (VI) с винной кислотой в растворе перхлорной кислоты (1 моль/л) при постоянной концентрации Mo (VI)  $2 \cdot 10^{-4}$  моль/л и переменной концентрации винной кислоты. Установлено образование комплексного соединения с мольным соотношением Me:L=1:1 следующего состава  $[MoO_2(C_4H_4O_6)]^0$ . Определена константа неустойчивости образующегося комплекса  $K=0,828 \cdot 10^{-12}$ .

В водных растворах молибден способен к образованию гидролитических полиядерных соединений и комплексов различного состава, влияющих на реакционную способность молибдена [1]. Сведения об ионном состоянии Mo (VI) в растворах необходимы для изучения химизма образования и прочности комплексных соединений с различными лигандами [2].

В литературе имеется ряд работ по изучению комплексообразования молибдена (VI) с различными лигандами [3–5]. Известны работы, посвященные виннокислым комплексам Co (II), Ni (II) и Pb (II) [6]. Однако данные по исследованию виннокислых комплексов молибдена отсутствуют.

В настоящей работе изучено взаимодействие молибдена (VI) с винной кислотой в хлорнокислых растворах.

**Экспериментальная часть и обсуждение.** Опыты проводились при температуре 293 К. Спектры поглощения снимались на спектрофотометре СФ-46 в интервале длин волн 190–290 нм с использованием кварцевых кювет с  $l=1$  см.

Максимум поглощения наблюдался при длине волны 210 нм (рис. 1).

Из литературных данных известно, что оптическая плотность растворов прямо пропорциональна концентрации молибдена в интервале  $1 \cdot 10^{-5}$ – $1 \cdot 10^{-3}$  моль/л, что указывает на отсутствие полимеризации молибдена, а также установлено наличие молибден-иона ( $MoO_2^{2+}$ ) при этих же концентрациях [2].

Для точного определения состава исследуемого комплекса применяли метод изоляричных серий [7]. Нами использованы растворы Mo (VI) и винной кислоты с равной концентрацией компонентов  $2 \cdot 10^{-4}$  моль/л. Готовили серию опытов, сохраняя постоянными общий объем растворов (50 мл) и суммарную концентрацию  $[\text{MoO}_2^{2+}] + [\text{C}_4\text{H}_4\text{O}_6^{2-}]$ .

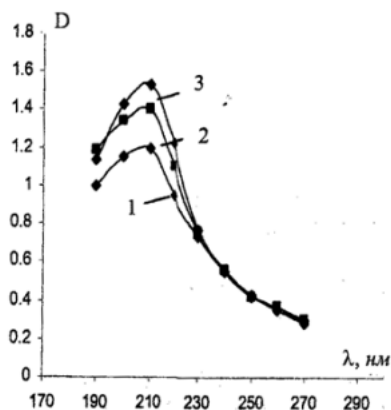


Рис. 1. Спектры поглощения системы Mo(VI)-винная кислота с различными мольными соотношениями компонентов: 1 - 1:0,5; 2 - 1:1; 3 - 1:2.

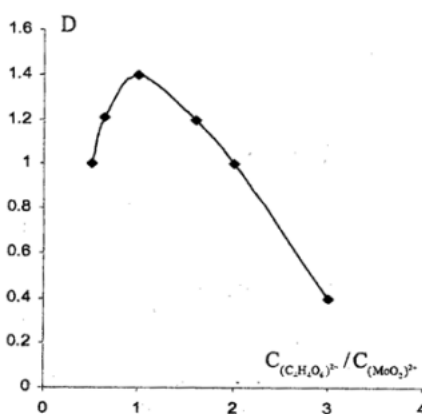


Рис. 2. Диаграмма состава комплекса в системе Mo(VI)- $\text{C}_4\text{H}_4\text{O}_6$ .

На основании опытных данных составлена диаграмма состава образующегося комплекса (рис. 2), где значение максимального поглощения указывает на мольное соотношение  $\text{MoO}_2^{2+} : \text{C}_4\text{H}_4\text{O}_6^{2-} = 1:1$ .

Для подтверждения состава комплекса мы применили метод прямой линии Асмуса [8]. Готовили серию растворов с постоянным объемом, где объем и концентрацию молибдена сохраняли постоянными ( $2 \cdot 10^{-4}$  моль/л), а объем винной кислоты изменяли в интервале 0,60–12,2 мл. Рассчитывали значение  $1/m_D$  и  $1/V^n$  для целочисленных значений  $n$ , где  $m_D$  – модуль оптической плотности,  $m_D = D/l$ ,  $V$  – объем лиганда, мл.

На рис. 3 приведена графическая зависимость  $1/V^n$  от  $1/m_D$ . При  $n=1$  получена прямая линия, что подтверждает образование комплекса с мольным соотношением 1:1.

Для определения заряда комплекса нами использован метод ионного обмена. В этом случае при всех концентрациях винной кислоты на анионите (AB-17- $\text{ClO}_4^-$ ) и катионите (KY-2- $\text{H}^+$ ) поглощение виннокислого комплекса очень незначительно (1–2%), что указывает на его электронейтральность.

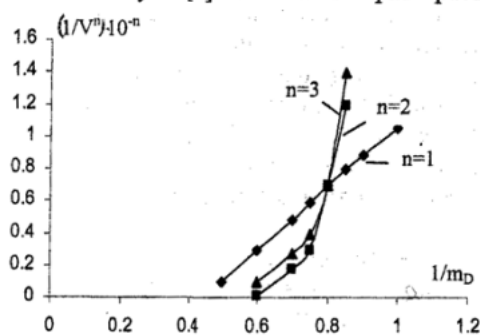
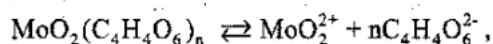


Рис. 3. Зависимость  $1/V^n$  от  $1/m_D$ .

На основании приведенных исследований можно сделать вывод, что при вышеуказанных условиях системы образуется комплекс состава  $[\text{MoO}_2(\text{C}_4\text{H}_4\text{O}_6)]^0$ . Общая константа неустойчивости ( $K$ ) образующегося комплекса нами рассчитана по методу сдвига равновесий. Согласно равновесной реакции



константа неустойчивости будет следующей:

$$K = \frac{[\text{MoO}_2^{2+}][\text{C}_4\text{H}_4\text{O}_6^{2-}]^n}{[\text{MoO}_2(\text{C}_4\text{H}_4\text{O}_6)_n]} \quad (1)$$

Логарифмируя это выражение, получим:

$$\lg \frac{[\text{MoO}_2(\text{C}_4\text{H}_4\text{O}_6)_n]}{[\text{MoO}_2^{2+}]} = n \lg[\text{C}_4\text{H}_4\text{O}_6^{2-}] - \lg K \quad (2)$$

Исходя из сущности метода сдвига равновесий [7], можем выражение  $\lg \frac{[\text{MoO}_2(\text{C}_4\text{H}_4\text{O}_6)_n]}{[\text{MoO}_2^{2+}]}$  заменить на  $\lg \frac{\varepsilon}{\varepsilon_{\text{max}} - \varepsilon}$ , где  $\varepsilon = \frac{D}{cl}$  — коэффициент молярного поглощения комплекса,  $\varepsilon_{\text{max}}$  — при полном насыщении лигандом.

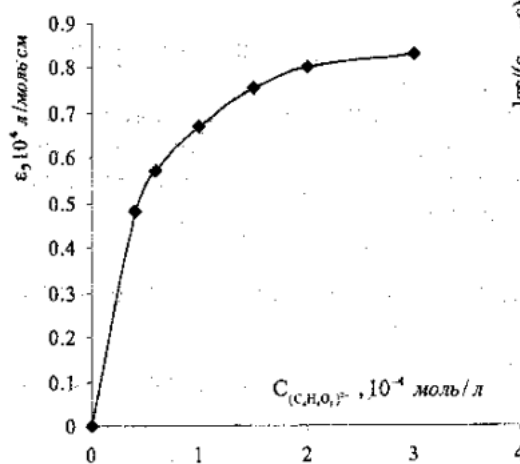


Рис. 4. Зависимость молярного коэффициента от концентрации винной кислоты при  $\lambda=210$  нм.

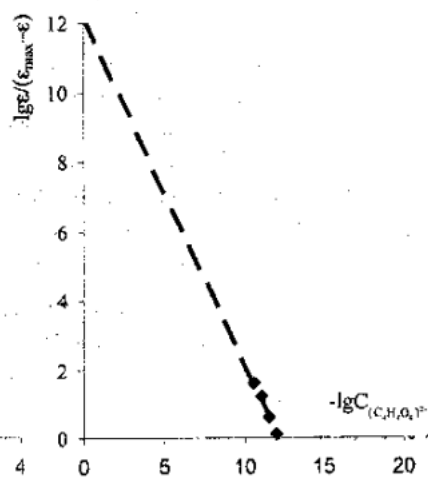


Рис. 5. Зависимость  $-\lg(\varepsilon/(\varepsilon_{\text{max}}-\varepsilon))$  от  $-\lg[\text{C}_4\text{H}_4\text{O}_6^{2-}]$ .

Для определения  $K$  готовили серию растворов с постоянной концентрацией  $\text{Mo(VI)} 2 \cdot 10^{-4}$  моль/л и хлорной кислоты 1 моль/л и с переменной концентрацией винной кислоты  $0,4 \cdot 10^{-4} - 3 \cdot 10^{-4}$  моль/л. На основании опытных данных рассчитаны молярные коэффициенты поглощения растворов и построен график насыщения, т.е. зависимость от равновесной концентрации  $[\text{C}_4\text{H}_4\text{O}_6^{2-}]$  при  $\lambda=210$  нм (рис. 4).

В таблице приведены данные, рассчитанные на основании кривой рис. 4. Составлена зависимость  $-\lg \frac{\epsilon}{\epsilon_{\max} - \epsilon}$  от  $-\lg[C_4H_4O_6^{2-}]$  (рис. 5), которая представляет собой прямую линию. После ее экстраполяции до пересечения с ординатой получаем отрезок, равный  $-\lg K$ , откуда определяем константу неустойчивости  $K = 0,831 \cdot 10^{-12}$ .

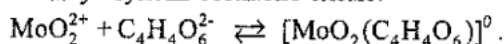
Расчетные данные для определения константы неустойчивости комплекса

$[H_2C_4H_4O_6], 10^{-4}$ моль/л	$[C_4H_4O_6^{2-}], 10^{-12}$ моль/л	$-\lg[C_4H_4O_6^{2-}]$	$\epsilon, 10^4$ л/моль·см	$(\epsilon_{\max} - \epsilon), 10^4$	$\epsilon/(\epsilon_{\max} - \epsilon)$	$-\lg \epsilon/(\epsilon_{\max} - \epsilon)$	$(\epsilon_{\max} - \epsilon)/\epsilon$	$K = (\epsilon_{\max} - \epsilon)/\epsilon \cdot [C_4H_4O_6^{2-}], 10^{-12}$
0,4	1,56	11,8	0,48	0,37	1,297	0,11	0,77	1,20
0,6	2,34	11,63	0,57	0,28	2,036	0,308	0,49	1,14
1	3,9	11,41	0,67	0,18	3,72	0,57	0,26	1,01
1,5	5,85	11,23	0,74	0,11	6,72	0,827	0,148	0,86
2	7,8	11,1	0,8	0,05	16,0	1,204	0,062	0,48
3	11,7	10,93	0,83	0,02	41,5	1,618	0,02	0,28

$K_{cp} = 0,828 \cdot 10^{-12}$

Надо отметить, что величины константы неустойчивости, рассчитанные и полученные графическим методом, близки.

**Заключение.** Методами изомолярной серии и Асмуса при кислотности раствора 1 моль/л  $HClO_4$  и концентрации  $Mo(VI)$   $2 \cdot 10^{-4}$  моль/л показано образование молибденовиннокислого комплекса состава 1:1. Комплексообразование протекает в одну ступень согласно схеме:



Константа неустойчивости комплекса, рассчитанная по методу сдвига равновесия, составляет  $K_{cp} = 0,828 \cdot 10^{-12}$ .

Кафедра неорганической химии

Поступила 20.06.2006

#### ЛИТЕРАТУРА

1. Ахметов Н.С. Общая и неорганическая химия. М.: Высшая школа, 2002.
2. Набиванец Б.И. – ЖНХ, 1969, т. 14, вып. 3, с. 353.
3. Меликсетян А.П., Капанян Э.Е., Гукасян Ж.Г., Бабаян Г.Г. – Ученые записки ЕГУ, 1975, № 3, с. 64.
4. Капанян Э.Е., Саркисян Р.А., Арутюнян М.Г. Химия и технология редких и рассеянных элементов. Ер., 1981, с. 21.
5. Капанян Э.Е., Саркисян Р.А., Багдасарян С.Д., Григорян Г.Л., Оганисян Э.Н. – Ученые записки ЕГУ, 2001, № 1, с. 86.
6. Павлюкова А.В., Демянчук Л.С. – ЖНХ, 1969, т. 14, вып. 4, с. 359.

7. Практическое руководство по химии комплексных соединений (под ред. Попель А.А.). Казань: Изд-во Казанского университета, 1979.
8. Булатов М.И., Каминкин И.П. Практическое руководство по фотоколориметрическим и спектрометрическим методам анализа. М.: Химия, 1976.
9. Григорьева В.В., Цимблер С.М. – ЖНХ, М., т. 13, вып. 2, с. 498.

Է. Ե. ՂԱՓԱՆՅԱՆ, Տ. Վ. ԲԱԼԱՅԱՆ, Ս. Դ. ԲԱԴԴԱՍԱՐՅԱՆ,  
Գ. Մ. ՋԵՅՏԱԳԻՅԱՆ, Ս. Կ. ԳՐԻԳՈՐՅԱՆ

### ՄՈԼԻԲԴԵՆ(VI)-Ի ՓՈԽԱԶԴԵՑՈՒԹՅՈՒՆԸ ԳԻՆԵԹՐՎԻ ՀԵՏ ՋՐԱՅԻՆ ԼՈՒՇՈՒՅԾՈՒՄ

#### Ամփոփում

Սպեկտրալուսաչափական (իզոմոլային սերիաների, հավասարակշռության տեղաշարժի, Ասմուսի ուղիղ գծի) և իոնափոխանակային քրոմատոգրաֆիայի մեթոդներով ուսումնասիրված է  $2 \cdot 10^{-4}$  մոլ/լ կոնցենտրացիայով Mo(VI)-ի փոխազդեցությունը գինեթրվի հետ. պերքլորական թթվի հաստատուն կոնցենտրացիայի դեպքում: Հաստատված է, որ այդ փոխազդեցության ժամանակ առաջանում է 1:1 մոլային հարաբերությամբ  $[MoO_2(C_4H_4O_6)]^0$  կոմպլեքսը:

Որոշված է առաջացած կոմպլեքսի բաղադրությունը և անկայունության հաստատունի արժեքը՝  $K=0,828 \cdot 10^{-12}$ :

E. E. GHAPANTSYAN, T. V. BALAYAN, S. D. BAGHDASARYAN,  
G. M. ZEYTAGHYAN, S. K. GRIGORYAN

### INTERACTION OF MOLYBDENUM(VI) WITH TARTARIC ACID WATER LIQUID

#### Summary

Interaction of molybdenum(VI) with tartaric acid at certain concentration of perchloric acid (1 M) is studied using spectrophotometric methods (isomolecular series, shifts of equilibrium, Asmus straight line and ion-exchange chromatography). It is established that at the indicated interaction there appears a complex 1:1 M ratio.

The contents of the formed complex and the value of the resistance constant are defined.